

مطالعه تجربی بر روی خواص مکانیکی لاستیک‌های بازیافت شده از راه فناوری مکانیکی*

سعید استادموحد^(۱) سکینه کربلائی نژاد^(۲) بهاره باباخانی^(۳)

چکیده بازیافت پسماندهای لاستیکی به دلیل مشکلات زیست محیطی و همچنین افزایش قیمت لاستیک نور رو به فروزنی دارد. از آنجا که لاستیک EPDM پایه پلیمری بسیاری از قطعات لاستیکی اتومبیل (به جز تایرها) می‌باشد، خسروت بازیافت و برگشت به چرخه تولید ضایعات مربوطه ضروری به نظر می‌رسد. در این پژوهش فناوری مکانیکی بازیافت مبتنی بر دستگاه اکسترودر دوپیچه به همراه واولکانش ضایعات لاستیکی اتومبیل بر پایه EPDM مورد استفاده قرار گرفت. سپس لاستیک‌های واولکانیله در یک سیستم نیمه کارآمد، پخته شد و ویژگی‌های پخت و خواص مکانیکی آن‌ها شامل سختی، استحکام کششی و ازیاد طول تا پارگی مقایسه و نتایج بحث شد. نتایج به دست آمده نشان داد که واولکانش لاستیک ضایعاتی با راندمان بالای انجام گرفته است. همچنین میان افزایش درصد واولکانش و کاهش چگالی اتصالات عرضی از یک سو و بهبود ویژگی‌های پخت و خواص مکانیکی آمیزه‌های واولکانش مجدد شده از سوی دیگر رابطه مستقیمی مشاهده گردید. شرایط بهینه برای واولکانش در اکسترودر دوپیچه بر مبنای نتایج طراحی آزمایش سرعت پیچ اصلی ۱۸۰ دور در دقیقه در دمای ۲۲۰ درجه سانتیگراد تعیین شد. متغیر بودن ترکیب مواد اولیه بدليل جمع‌آوری ضایعات از منابع مختلف جنبه عملی و کاربردی پژوهه را به چالش می‌کشد.

واژه‌های کلیدی بازیافت، لاستیک EPDM، اکسترودر دوپیچه

The Study on the Mechanical Properties of the De-Vulcanized Waste Rubber by a Mechanical Technique

S. Ostad Movahed

S. Karbalaei Nezhad

B. Babakhani

Abstract Recycling of waste rubbers is developing due to environmental concerns and continuous increasing raw materials price. The EPDM (ethylene-propylene-diene rubber) rubber is the rubber base of the non tire automotive rubber articles and their recycling is necessary for resources saving and the environment protection. A mechanical recycling technique, a twin screw extruder with the aid of a de-vulcanizing agent, TMTD (tetramethylthiuram disulfide) was used to de-vulcanize waste rubber powder from discarded EPDM automotive parts. The de-vulcanized rubbers, subsequently, re-vulcanized in a semi-efficient (SEV) curing system and correspondent curing and mechanical properties including hardness, tensile strength and elongation at break were measured and the results were compared and discussed. The results showed that the waste rubber de-vulcanized with used technique efficiently. The direct relationship was observed between increasing de-vulcanization percent and also the crosslink density reduction of the waste cured rubbers with improving the curing and mechanical properties of re-vulcanized compounds. The optimum de-vulcanization operating conditions were obtained by a design of experiment software at rotor speed of 180 rpm at a constant operative temperature, 220°C . The main challenge for using the outcomes of this study in commercial scale was the difference between waste rubbers composition because they provided from various sources.

Key Words Recycling, EPDM rubber, Twin screw extruder

*تاریخ دریافت مقاله ۹۷/۱۰/۲۶ و تاریخ پذیرش آن ۹۷/۲/۲ می‌باشد.

(۱) نویسنده مسئول: دانشیار، گروه شیمی، زیر گروه پلیمر، دانشکده علوم پایه، دانشگاه فردوسی مشهد، s-ostad@um.ac.ir

(۲) کارشناس ارشد، زیر گروه شیمی، دانشکده علوم پایه، دانشگاه فردوسی مشهد

(۳) کارشناس ارشد، گروه مهندسی شیمی، دانشکده مهندسی، دانشگاه فردوسی مشهد

مقدمه

امروزه، به دلیل آلودگی محیط زیست و نیز صرفه‌جویی در منابع و افزایش قیمت مواد اولیه، بازیافت پسماندهای لاستیکی به یکی از اولویت‌های مدیریت پسماندهای لاستیکی است. در صنایع لاستیکی، مشکل عمده در حال حاضر، عدم بازیافت واقعی این مواد است. به سخن دیگر ناتوانی در استفاده مجدد این مواد برای تولید محصولات نو لاستیکی چالش اصلی این صنعت بوده است. برای دستیابی به این هدف، بهبود خواص لاستیک بازیافت‌شده از طریق شکست انتخابی پیوندهای عرضی شیمیایی در شبکه پلیمری به یک چالش اساسی در جهان تبدیل شده است [1]. به این نوع فرآیند بازیافت لاستیک واولکانش می‌گویند که عکس فرایند واولکانش است. در واولکانش گوگردی، پیوند شیمیائی میان اتم‌های کربن و گوگرد و همچنین گوگرد با گوگرد ایجاد می‌گردد. از این‌رو طبیعی است که انتظار شکست پیوندهای فوق در فرایند واولکانش وجود داشته باشد. در حقیقت در یک فرایند واولکانش ایده‌آل بایستی فقط پیوندهای فوق شکسته شوند. در عمل، علاوه بر پیوندهای مذکور، پیوندهای کربن-کربن در زنجیره اصلی پلیمر نیز چار شکست و تخریب می‌گردد.

آنچه شیلنگ‌ها، دسته موتورها و بنابراین ضرورت بازیافت و برگشت به چرخه تولید پسماندهای لاستیکی حاصل از قطعات فرسوده فوق ضروری به نظر می‌رسد.

فرایند واولکانش می‌تواند شیمیایی، گرمایی، مکانیکی، تابشی، زیستی و یا ترکیبی از اینها باشد [3]. علت شکست شبکه سه‌بعدی در فرایندهای مکانیکی، تنش‌های برشی پدیدآمده از آسیاب دوغلطکی [4-6] و یا یک اکسترودر تک و یا دوپیچه [7-11] می‌باشد. بازیافت لاستیک ای.پی.دی.ام می‌تواند شامل شکست پل‌های میان زنجیره‌های پلیمری (واولکانش) باشد. واولکانش این نوع لاستیک دشواری‌های زیاد دارد، از جمله حلایت پایین اکثر عوامل شیمیایی واولکانش در بستر پلیمر وجود درصد بالای پل‌های گوگردی نسبتاً پایدار با تعداد یک اتم گوگرد در هر پل [12]. موری و همکاران [13] از یک روش مکانیکی (اکسترودر)، برای واولکانش لاستیک ای.پی.دی.ام استفاده نمودند. با تغییر شرایط واولکانش و در بهترین حالت، ۸۰٪ اتصالات عرضی شکسته شد. با تغییر سرعت پیچ اکسترودر و همچنین دمای راکتور، بازده واولکانش تغییر نمود. یون و همکاران [14،15] واولکانش لاستیک‌های مختلف از جمله لاستیک ای.پی.دی.ام را در یک راکتور شامل یک اکسترودر تک‌پیچه و یک منبع اولتراسوند از راه مطالعه اثر پارامترهای عملیاتی و شرایط مختلف اولتراسوند بر روی میزان واولکانش بررسی کردند. نتایج نشان داد که خواص مکانیکی و دینامیکی لاستیک‌های دوباره واولکانیده، به شرطی که عاری از پرکننده (کربن سیاه) باشند، برابر و حتی بهتر از لاستیک دست‌نخورده است. پرکننده، خواص مکانیکی و دینامیکی لاستیک‌های واولکانیده را کاست و کاربرد را محدود به تهیه آمیخته‌ای از لاستیک‌های فوق با لاستیک دست‌نخورده کرد. ونگ و همکاران [16] با استفاده از یک اکسترودر و ۰/۵ تا ۲۰٪ عامل

لاستیک ای.پی.دی.ام (اتیلن-پروپیلن-دای ان مونومر) (EPDM) نخستین بار در سال ۱۹۶۲ در ایالات متحده امریکا به شکل محدود و تجاری معرفی گردید [2]. این لاستیک، کوپلیمری از مونومرهای اتیلن و پروپیلن به همراه یک مونومر دارای اتصال دوگانه می‌باشد. در حال حاضر، در میان لاستیک‌هایی که کاربرد عمومی دارند ای پی دی ام بیشترین رشد را دارد و این رشد به سبب خواص عالی آن، به ویژه مقاومت در برابر ازون و ظرفیت پذیرش بالای پرکننده در فرمولاسیون آمیزه‌های مربوطه است. در صنعت اتومبیل، تقریباً ۳٪ وزن اتومبیل از این لاستیک‌ها ساخته می‌شود مانند نوارهای درزگیر درها و پنجره‌ها،

نمونه در ۳۰۰ میلی لیتر استون در دمای ۷۰ درجه سانتیگراد برای ۱۲ ساعت قرار گرفت و سپس در اون به مدت ۱۲ ساعت ماند تا خشک شود. آنگاه آزمون تجزیه‌گر گرماآزنی در اتمسفری از گاز نیتروژن و هوا در دماهای بهترتیب کمتر و بیشتر از ۵۰ درجه سانتیگراد انجام گرفت. جدول (۱) مشخصات فیزیکی و نتایج آزمون تجزیه‌گر گرماآزنی پودر لاستیک ضایعاتی را نشان می‌دهد. روغن‌های آروماتیک و الیفاتیک بهترتیب از شرکت نفت مهران تایر و شرکت نفت سپاهان تهیه شد و مواد دیگر چنین‌اند:

2-mercaptobenzothiazole disulfide (Perkacit MBTS, Flexsys),
tetramethylthiuram disulfide (Perkacit TMTD; Flexsys),
zinc dibutyl dithiocarbamate (Perkacit ZDBC, Flexsys),
zinc oxide (Harcros Durham Chemicals, UK), stearic acid (Anchor Chemicals Ltd., UK), elemental sulfur (Solvay Barium Strontium, Hannover, Germany)

روش تهیه آمیزه‌ها (Compounds) و فرایند Twin screw و اولکانش توسط اکسترودر دوپیچه (extruder). در ابتدا پودر لاستیک ضایعاتی به همراه عامل اولکانش و روغن در یک مخلوطکن ساده مجهز به هم زن مخلوط گردیدند (آمیزه‌های ۱ تا ۷) - جدول (۲). آمیزه‌های فوق به مدت ۲۴ ساعت برای نفوذ کامل مواد اضافه شده به پودر لاستیک در انبار نگهداری و سپس در یک اکسترودر دوپیچه صنعتی (شکل ۱) با دبی خروجی ۴۰ کیلوگرم در ساعت از شرکت (CTE65-52D) Coperion Keya Nanjing Machinery و اولکانش ۲۲۰ متر مکعب شد.

واولکانش موفق به واولکانش لاستیک ای‌پی‌دی. ام شدند. اسارو و همکاران [17] از یک روش شیمیایی- مکانیکی باکمک دی‌اکسیدکربن فوقبحرانی برای واولکانش لاستیک ضایعاتی استفاده کردند. سبزیکار و همکاران [18] با استفاده از عامل واولکانش روغن دی‌سولفید و عملیات شیمیایی-مکانیکی لاستیک ضایعاتی را واولکانش و بهینه ۴۰ و ۶۰٪ برای عامل واولکانش پیشنهاد کردند.

بیشتر پژوهشگران پیشین لاستیک را با کترل پخت و بدون عوامل شیمیایی واولکانش کردند. در این پژوهه بازیافت (واولکانش) ضایعات لاستیک ای‌پی‌دی. ام به دست آمده از بقایای محصولات لاستیکی مورد استفاده در صنعت خودرو از راه یک روش مکانیکی (اکسترودر دوپیچه) و عامل شیمیایی همزمان با واولکانش مورد مطالعه قرار گرفته است.

علاوه بر این، ماده اولیه، مخلوط کترل نشده‌ای از انواع لاستیک‌های ضایعاتی بوده است تا جنبه کاربردی تحقیق را بهبود بخشد. درنهایت خواص پخت و مکانیکی محصولات تولید شده از لاستیک واولکانیک اندازه‌گیری و نتایج مقایسه شده‌اند. همچنین با استفاده از یک نرم‌افزار طراحی آزمایش معادله‌ای برای پیش‌بینی مقدار واولکانش بر حسب پارامترهای مختلف ارائه گردیده است.

بخش تجربی

مواد مصرفی. لاستیک ضایعاتی، عامل واولکانش و مواد شیمیائی پخت پودر لاستیک ضایعاتی، مخلوطی از ضایعات قطعات نو (پسمانده‌های در حین تولید) و کارکرده خودرو، از شرکت پارت لاستیک تهیه شد و ترکیب آن از روش تجزیه‌گر گرماآزنی تعیین شد. قبل از این مرحله، روغن موجود در نمونه به وسیله دستگاه سوکسله استخراج گردید. برای این منظور ۱۰۰ گرم

جدول ۱ مشخصات فیزیکی و نتایج آزمون تجزیه گر گرمایشی لاستیک ضایعاتی

مقدار	خاصیت فیزیکی
۰/۵	مواد حل شدنی (%)
۱/۴۱	چگالی (gr./cm ^۳)
۱۸۶	چگالی اتصالات عرضی (mol/m ^۳)
۴۳/۶	کربن سیاه (%)
۳۸/۸۸	لاستیک ای.بی.دی.ام (%)
۲/۰۷	روغن باقی مانده (%)
۱۵/۴۵	سایر (%)

لایه های
لایه های
لایه های
لایه های
لایه های
لایه های
لایه های

جدول ۲ فرمولاسیون و شرایط تهیه آمیزه ها قبل از واولکانش

آمیزه	استرودر (rpm)	سرعت پیچ (rpm)	دمای اکسترودر (°C)	پودر لاستیک ضایعاتی	*TMTD	روغن الیافاتیک*	روغن اروماتیک*
۱	۱۸۰	۲۲۰	۱۰	۱۰	۶	۱۰	۱۰
۲	۲۲۰	۲۲۰	۱۰	۱۰	۶	۱۰	۱۰
۳	۱۵۰	۲۲۰	۱۰	۱۰	۶	۱۰	۱۰
۴	۱۶۰	۲۲۰	۱۰	۱۰	۶	۱۰	۱۰
۵	۱۷۰	۲۲۰	۱۰	۱۰	۶	۱۰	۱۰
۶	۲۰۰	۲۲۰	۱۰	۱۰	۶	۱۰	۱۰
۷	۱۹۰	۲۲۰	۱۰	۱۰	۶	۱۰	۱۰

* مقادیر به phr



شکل ۱ اکسترودر دوپیچه صنعتی

اندازه‌گیری و محاسبه چگالی اتصالات عرضی و درصد واولکانش. حلال مورد استفاده برای اندازه‌گیری چگالی اتصالات عرضی و درصد واولکانش تولوئن بود [19]. برای این‌منظور، ۵ گرم نمونه در بطريق نشانه‌دار حاوی ۳۰۰ میلی لیتر تولوئن در دمای محیط قرار داده شد. تغییر وزن نمونه در هر ۲۴ ساعت اندازه‌گیری شد تا وزن آن به وزن تعادل رسید. پس از اندازه‌گیری این وزن، نمونه از بطريق خارج و در هوا به مدت ۹ ساعت نگهداشته شد؛ سپس در آون در دمای ۸۵ درجه سانتیگراد و به مدت ۲۴ ساعت خشکانده و وزن آن اندازه‌گیری و چگالی اتصالات عرضی با معادله فلوری-رنر (Flory-Rehner) [20] به شرح زیر اندازه‌گیری شد:

$$\rho_c = -\frac{1}{V_s} \frac{\ln(1-v_r^0) + v_r^0 + x(v_r^0)^2}{(v_r^0)^{1/3} - v_r^0 / 2} \quad (1)$$

در این معادله ρ_c چگالی اتصالات عرضی

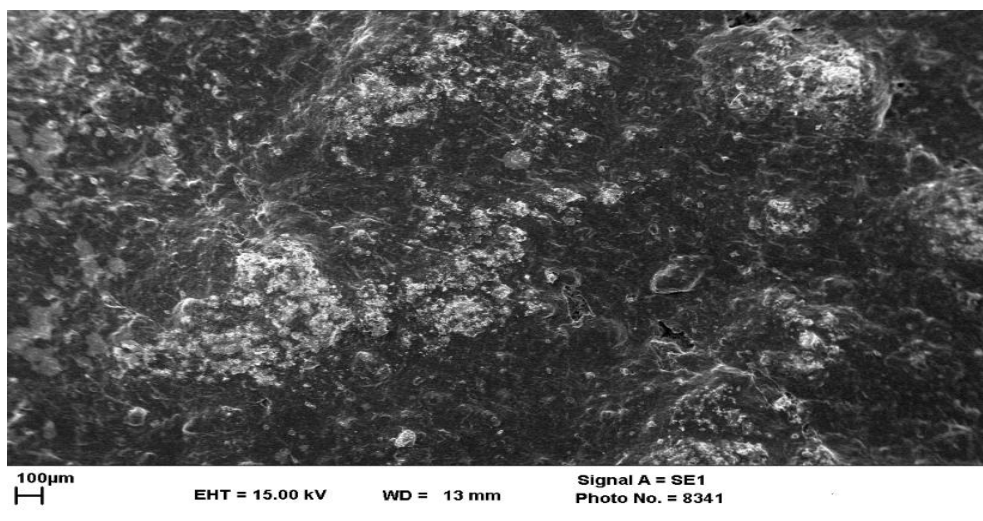
= درصد واولکانش

- چگالی اتصالات عرضی لاستیک واولکانش شده

چگالی اتصالات عرضی پودر لاستیک ضایعاتی

$\times 100$

(4)



شکل ۲ تصویر میکروسکوپ الکترونی پویشی برای آمیزه واولکانیde شماره ۱

تصاویر گرفته شده از میکروسکوپ الکترونی پویشی (SEM) مدل LEO 1530 VP بررسی شد (شکل‌های ۲ و ۳). برای این منظور قطعات کوچک لاستیک به مدت ۳ دقیقه در نیتروژن مایع قرار داده شد و سپس هر یک به دو نیم تقسیم شد تا سطحی پاکیزه برای تصویربرداری پیدا کنند.

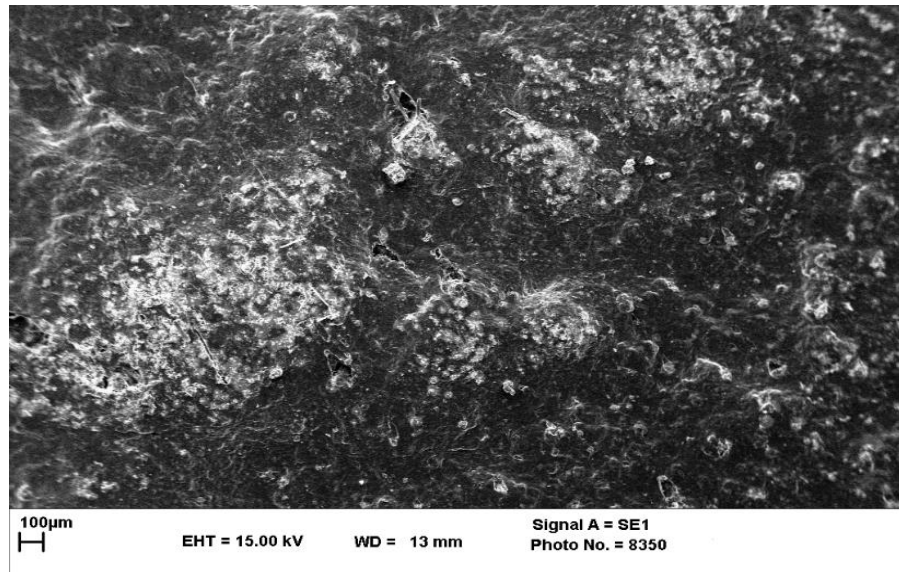
آماده‌سازی آمیزه‌های واولکانیده برای واولکانش مجدد و پخت آمیزه‌ها. فرمولاسیون آمیزه‌های واولکانیده جهت واولکانش مجدد توسط گروه کارخانجات پارت لاستیک توصیه گردید. این فرمولاسیون برای تولید نوارهای لاستیکی دور پنجره خودرو متداول می‌باشد (جدول ۴). مواد پخت بر روی آسیاب دوغلتکی (شکل ۴) به مدت ۵ دقیقه به لاستیک واولکانیده اضافه شد. سپس مقدار هریک از مواد پخت با توجه به درصد واولکانش هر یک از آمیزه‌ها محاسبه و به آمیزه افزوده شد.

چگالی اتصالات عرضی در لاستیک ضایعاتی اولیه 186 mol/m^3 (جدول ۱) اندازه‌گیری شد. جدول (۳) چگالی اتصالات عرضی و درصد واولکانش آمیزه‌ها را نشان می‌دهد.

جدول ۳ چگالی اتصالات عرضی و درصد واولکانش برای آمیزه‌های واولکانیده

آمیزه	چگالی اتصالات عرضی (mol/m^3)	واولکانش (%)
۱	۷۷/۹	۶۳/۵
۲	۷۳/۷	۶۰/۴
۳	۸۲/۵	۵۶/۴
۴	۸۰/۶	۵۸/۵
۵	۷۳/۰	۶۰/۰
۶	۶۸/۳	۶۲/۰
۷	۶۸/۰	۶۲/۴

ارزیابی میکروسکوپی نمونه‌های واولکانیده. توزیع پرکننده و سایر عوامل در نمونه‌های واولکانیده از راه



شکل ۳ تصویر میکروسکوپ الکترونی پویشی برای آمیزه واولکانیده شماره ۲

جدول ۴ فرمولاسیون پیشنهادی برای ولکانش مجدد آمیزه ها

گرد	ZnO	امیناتیک اسید	MBTS	ZDBC	TMTD	لاستیک واکاپلر	٪
۲/۵	۵	۱	۰/۵	۱/۸	۰/۷	۱۰۰	phr



شکل ۴ آسیاب دوغلتکی



شکل ۵ دستگاه اندازه گیری خواص پخت

نمونه هایی از آمیزه های فوق، شامل زمان برشتگی، زمان پخت، اختلاف گشتاور و نمایه سرعت پخت، برای اندازه گیری خواص پخت در یک دستگاه رئومتر از نوع لوح نوسانگر در دمای ۱۸۰ درجه سانتیگراد و فرکанс ۱/۷ مگاهرتز و درجه جابه جایی ۳ درجه قرار داده شد (شکل ۵) که نتایج آن برای دو آمیزه ۱ و ۲ در جدول (۵) آورده شد و نمایه سرعت پخت از معادله (۵) محاسبه گردید.

$$\text{نمایه سرعت پخت} = \frac{1}{100} \times (\text{زمان پخت} - \text{زمان برشتگی}) \quad (5)$$

نمونه‌های استوانه‌ای به ارتفاع ۱۲/۵ و قطر ۲۹ میلیمتر انجام گرفت. آزمایش‌ها روی ۵ نمونه انجام و مقدار میانه محاسبه و از ذکر انحراف معیار در جدول‌ها خودداری شد. جدول (۶) خواص مذکور را برای دو آمیزه ۱ و ۲ نشان می‌دهد.

جدول ۶ خواص مکانیکی آمیزه‌های دوباره ولکانیده

کشامد در پارگی (%)	استحکام کششی (MPa)	سختی (Shore A)	شماره آمیزه
۲۰	۱/۴	۵۶/۴	۱
۳۲	۲/۵	۵۸/۲	۲

جدول ۵ خواص پخت آمیزه‌های واولکانیده

نمایه سرعت پخت (1/s)	اختلاف گشتاور (dN.M)	زمان پخت (t_{90}) m:s	زمان برشتگی (t_{s1}) m:s	آمیزه
۷/۱۴	۸/۵	۰:۲۵	۰:۱۱	۱
۷/۷۰	۷/۹	۰:۲۷	۰:۱۲	۲

پخت آمیزه‌ها با استفاده از زمان‌های پخت به دست آمده برای هر آمیزه و در یک قالب فشاری در فشار ۱۶۰ اتمسفر و دمای ۱۸۰ درجه سانتیگراد انجام گرفت.

نتایج و بحث

ترکیب لاستیک ضایعاتی. نتایج آزمون استخراج با حلال نمونه‌های پودر لاستیک نشان داد که به طور میانگین ۲۱۷/۴٪ نمونه‌ها روغن است. جدول (۱) نتایج آزمون تجزیه‌گر وزنی لاستیک ضایعاتی مورد استفاده را نشان می‌دهد. مشاهده شد که تخریب لاستیک در دمای ۵۴۷/۸ درجه سانتیگراد شروع و در دمای ۵۴۷/۶ درجه سانتیگراد پایان می‌یابد. همچنین در دماهای بین ۲۶/۲ تا ۲۸۷/۶ درجه سانتیگراد به دلیل تخریب و خروج روغن باقی‌مانده که فراترین جزء موجود در نمونه‌های لاستیک است، کاهش جرم دیده شد. این درصد از دستدادن روغن مانده در لاستیک، نشان می‌دهد که روش استخراج با سوکسله قادر به حذف کامل روغن و اجزای فراتر نبوده است. در محدوده دمایی ۵۵۰ تا ۶۱۳ درجه سانتیگراد کاهش جرم به دلیل احتراق کربن سیاه مشاهده شد. توجه شود که در این فاصله دمایی، نمونه زیر فشار هوا قرار گرفته است. آنچه از نمونه باقی ماند مواد معدنی و فلزات موجود در آن بود که قابلیت تخریب و یا سوختن را نداشت. با توجه به نتایج فوق، ۳۸/۸۸ درصد از نمونه آزمون شده لاستیک می‌باشد.



شکل ۶ دستگاه اندازه‌گیری خواص مکانیکی (کششی) لاستیک‌های پخت شده

اندازه‌گیری خواص مکانیکی آمیزه‌ها. خواص مکانیکی آمیزه‌ها، استحکام کششی و کشامد در پارگی، در یک دستگاه کشش (شکل ۶) و در دمای محیط و سرعت حرکت ۵۰۰ میلیمتر در دقیقه بر مبنای استاندارد مربوطه [22] بر روی نمونه‌های پخت شده در فشار ۱۶۰ اتمسفر و دمای ۱۸۰ درجه سانتیگراد اندازه‌گیری شد. سختی نمونه‌ها با دستگاه سختی سنج از شرکت Instrument & Mfg. New York تعیین شد. اندازه‌گیری‌ها بر مبنای استاندارد مربوطه [23] روی

حاصل از این طراحی و بهینه‌سازی به روش یک‌فاکتوره و دور اصلی پیچ اکسترودر به عنوان فاکتور انتخاب و سطوح پایین و بالای فاکتور به ترتیب ۱۵۰ و ۲۲۰ دور در دقیقه در نظر گرفته شد. تحلیل متغیر پاسخ توسط RSM نشان می‌دهد که مدل درجه دوم از نظر آماری برای پاسخ مناسب است. جدول واریانس (ANOVA) در این روش (جدول ۷)، میزان کارایی و اعتبار مدل را باستفاده از تعیین اهمیت مدل رگرسیون، ضرایب مدل و تست عدم تناسب تعیین می‌نماید. بر طبق این جدول، مدل انتخاب شده دارای P-value کمتر از ۰/۰۰۱ است. مقدار پایین P-value نشان‌دهنده اهمیت ترم مورد نظر است. با توجه به جدول فوق می‌توان دریافت که مدل ارائه شده در توافقی مناسب با داده‌های همان‌گونه که انتظار می‌رفت، فاکتور دور پیچ اصلی اکسترودر (N) عاملی مؤثر در رسیدن به پاسخ مناسب می‌باشد. جدول (۸) مقادیر پارامترهای مدل درجه دوم روش سطح پاسخ را نشان می‌دهد که در آن مقدار $R^2 = 0/9104$ نشان‌دهنده تغییرپذیری و انعطاف مناسب داده‌ها با مدل است. مقدار $Adj\ R^2 = 0/8656$ که با اعمال ترم‌های بالاهمیت محاسبه می‌شود، دارای اعتبار بیشتری نسبت به R^2 است.

جدول ۷ تحلیل جدول واریانس

(ANOVA) برای مدل سطح پاسخ درجه دوم)

Source	Sum of Squares	df	F Value	p-value (Prob>F)
Model	۳۲/۷	۲	۱۶۳۵	۰/۰۰۱
A-N	۱۱/۸۸	۱	۱۴/۷۷	۰/۰۱۸۴
Residual	۳/۲۲	۴	-	-
Cor Total	۳۵/۹۲	۶	-	-

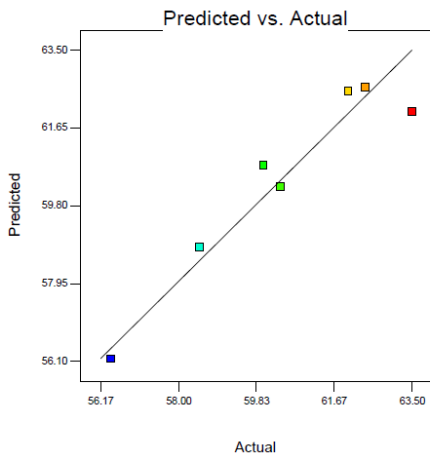
جدول ۸ مقادیر پارامترهای مدل درجه دوم روش سطح پاسخ

Std. Dev.	۰/۹۰	R-Squared	۰/۹۱۰۴
Mean	۶۰/۴۶	Adj R-Square	۰/۸۶۵۶
C.V%	۱/۴۸	Pred RSquared	۰/۷۵۵۱
PRESS	۸/۸۰	Adeq Precisio	۱۰/۹۹۵

و اولکانش لاستیک ضایعاتی. تنها درصد پایینی از ضایعاتی که به عنوان ماده اولیه استفاده شد لاستیک قابل واولکانش بود. این واقعیت انجام واولکانش را سخت می‌کند زیرا واولکانش نیازمند شرایط و عامل واولکانش مؤثری می‌باشد.

اندازه ذرات لاستیک ضایعاتی فاکتور مهمی در واکنش‌های واولکانش و کترل فرایند می‌باشد. برای ذرات با قطر بزرگتر از ۱ سانتیمتر عملاً واولکانش از کترل خارج می‌شود. ذرات با قطر حدود ۱ میلیمتر بهترین بازده واولکانش را از خود نشان دادند.علاوه بر این وجود ناخالصی‌هایی چون ذرات فلز مشکلاتی در این نوع واولکانش ایجاد می‌کند. وجود مجموعاً (جدول ۲) باعث کاهش گرانزوی آمیزه‌ها شد و فرایند پذیری آنها را تسهیل و زمان اقامت آمیزه لاستیکی (واولکانش) را کاهش داد. روغن علاوه بر کاهش گرانزوی نمونه و کمک به انتقال و دسترسی زنجیره‌های پلیمری به عوامل شیمیایی واولکانش، فرایند اکسیداسیون لاستیک را شتاب می‌دهد و نیز به عنوان یک ماده جلوگیری‌کننده از تولید ژل و قبول کننده رادیکال به شمار می‌آید. در هنگام واولکانش عامل واولکانش (TMTD) در روغن حل شده و در اثر گرما و تنش مکانیکی اعمال شده از طرف پیچ اکسترودر به رادیکال‌های فعال تبدیل می‌گردد. در مرحله بعد رادیکال‌های فوق به رادیکال‌های پلیمری به وجود آمده در محل پل گوگردی زنجیره پلیمری متصل شده و از ایجاد مجدد پل گوگردی جلوگیری می‌نمایند.

طراحی آزمایش و بهینه‌سازی نتایج. برای تعیین مدلی برای آزمایش و نیز بهینه‌سازی دور پیچ اکسترودر از نرم‌افزار طراحی آزمایش استفاده شد که در آن درصد واولکانش محصول خروجی به عنوان متغیر پاسخ انتخاب شد. برای این منظور از مدل سطح پاسخ (RSM) و زیرشاخه تک‌پارامتر بهره گرفته شد. نتایج



شکل ۷ نمودار مقادیر واولکانش پیش‌بینی شده بر حسب مقادیر واقعی

در بخش بهینه‌سازی باید هدف هر فاکتور یا پاسخ مشخص شود. در اینجا هدف رسیدن به بالاترین میزان محصول واولکانش در دور پیچ کمتر است. در بخش بهینه‌سازی و زیرشاخه گزارش بهینه‌سازی، نتایج به گونه‌ای مرتب شده‌اند که دیدگاه مناسب‌تر و شفاف‌تری از پاسخ مناسب در اختیار کاربر قرار دهنند. این بخش شامل محدودیت‌های فضای طراحی، فاکتورها و پاسخ به همراه بیان هدف برای هر یک و درنهایت فهرستی از پاسخ‌های مطلوب می‌باشد. با توجه به مدل برآششده، پاسخ نهایی بهینه توسط نرم‌افزار $N=180$ rpm تعیین شد.

علاوه بر این مشاهدات تجربی نشان داد که نحوه خوراک‌دهی به پیچ اصلی در اکسترودر نقش کلیدی در ایجاد یک محصول همگن و پیوسته دارد. آزمون‌های مختلف در دماهای گوناگون و سرعت پیچ اصلی و پیچ خوراک نشان داد که دمای ۲۲۰ درجه سانتیگراد و دو سرعت پیچ خوراک ۱۸۰ و ۲۲۰ دور در دقیقه و دو سرعت مارپیچ خوراک ۶ و ۸ دور در دقیقه همگن‌ترین و پیوسته‌ترین محصول (لاستیک واولکانیده) را تولید می‌کند. بنابراین تنها دو آمیزه ۱ (بهینه) و ۲ برای پخت مجدد و اندازه‌گیری خواص مکانیکی انتخاب شد. همان‌طور که از جدول (۲) مشاهده می‌گردد،

R^2 توانایی پیش‌بینی مدل برای داده‌های دیگر در سطوح مورد نظر را گزارش می‌کند. به طور کلی، هرچه مقدار R^2 و $Adj\ R^2$ به یکدیگر نزدیک‌تر باشد، مدل پیشنهادی مناسب‌تر عمل می‌کند. در جدول مذکور مشاهده می‌شود که میزان R^2 در توافقی منطقی با $Adj\ R^2$ قرار دارد و مقادیر مناسب به دست آمده بیان‌کننده تناسب برآش داده‌ها با مدل پیشنهادی می‌باشد.

مقدار کم $C.V\%$ نشان‌دهنده پایین بودن نوسانات است و $Adeq\ Precision$ نسبت سیگنال به نویز را نشان می‌دهد که عموماً مقادیر بالاتر از ۴ برای آن مناسب گزارش می‌شود که در اینجا $10/995$ است که نشان‌دهنده میزان توانایی مدل ارائه شده در پیش‌بینی پاسخ برای داده‌های جدید که در محدوده آزمایش قرار دارند، می‌باشد. هرچه این مقدار کمتر باشد، مدل پیشنهادشده برای داده‌های جدید مناسب‌تر است که در این طراحی آزمایش پارامتر مذکور $8/80$ محاسبه شده است. شکل (۷) مطابقت نسبی مدل پیشنهادی و مقادیر واقعی پاسخ را نشان می‌دهد. در حالت ایده‌آل بایستی مقادیر پاسخ پیش‌بینی شده توسط مدل و نتایج تجربی یکسان باشند. با توجه به نتایج فوق معادله (۶) پیشنهاد می‌شود:

$$\times \times - 3/43251 - N + 1/32844 = \text{واولکانش} \quad (6)$$

در این معادله از جمله سوم که ضریب 10^{-3} است می‌توان چشم پوشید.

بین ۱۱ تا ۱۲ ثانیه و زمان پخت آنها در محدوده ۲۵ و ۲۷ ثانیه به ترتیب برای آمیزه‌های ۱ و ۲ است که از دیدگاه صنعتی قابل قبول می‌باشد. اختلاف گشتوار معیاری برای اندازه‌گیری مقدار ولکانش آمیزه‌ها و در محدوده $8/5 \text{ تا } 7/9 \text{ M}^{\cdot}\text{dN}$ است که برای قطعات لاستیکی بر پایه لاستیک ای.پی.دی.ام قابل قبول است. نمایه سرعت پخت که شبیه منحنی پخت و درنتیجه سرعت پخت را بیان می‌کند در محدوده $7/14 \text{ تا } 1/8 \text{ (آمیزه ۱) و } 6/70 \text{ (آمیزه ۲)}$ قرار دارد که حاکم از پخت سریع‌تر آمیزه ۱ نسبت به آمیزه ۲ می‌باشد.

جدول (۶) مقادیر سختی، استحکام کششی و کشامد در پارگی آمیزه‌های ولکانش مجدد شده را نشان می‌دهد که به ترتیب آمیزه‌های ۱ و ۲ مقدار سختی، استحکام کششی آمیزه‌ها در محدوده مطلوبی می‌باشد. استحکام کششی آمیزه‌ها در محدوده مطلوبی نیستند و به نظر می‌رسد که برای دستیابی به مقادیر مطلوب باید آمیزه‌های ولکانیکه را با آمیزه‌های دست‌نخورده آمیخت. استحکام کششی دو آمیزه فوق $56/4$ و $58/2$ است که از نظر کاربرد صنعتی مطلوب می‌باشد. استحکام کششی آمیزه‌ها در محدوده مطلوبی نیستند و به نظر می‌رسد که برای دستیابی به مقادیر مطلوب باید آمیزه‌های ولکانیکه را با آمیزه‌های دست‌نخورده آمیخت. استحکام کششی دو آمیزه فوق $1/4$ و $2/5 \text{ MPa}$ است. و چنین می‌نماید که کشامد در پارگی $20 \text{ و } 32\%$ مقادیر مطلوبی برای آمیزه‌های لاستیکی نیستند.

نتیجه‌گیری

در این پژوهش صنعتی ولکانش لاستیک ای.پی.دی.ام پسماندهایی بر پایه قطعات لاستیکی خودرو با یک روش مکانیکی (اکسترودر دوپیچه) و با کمک عامل ولکانش شیمیایی (TMTD) انجام گرفت. نتایج نشان داد که بین افزایش درصد ولکانش و کاهش چگالی اتصالات عرضی با بهبود ویژگی‌های پخت و خواص مکانیکی آمیزه‌های ولکانش مجدد شده رابطه مستقیمی وجود دارد. شرایط بهینه برای ولکانش در اکسترودر دوپیچه با استفاده از نرم‌افزار طراحی آزمایش، سرعت پیچ اصلی 180 دور در دقیقه

وجود 6 phr از TMTD به عنوان عامل ولکانش باعث رسیدن به ترتیب $63/5$ و $60/4\%$ ولکانش برای آمیزه‌های ۱ و ۲ شد که چگالی اتصالات عرضی را از $73/7 \text{ mol/m}^3$ به $67/9$ کاهش داد. کاهش دور پیچ اصلی از 220 به 180 دور در دقیقه بدون تغییر در دمای ولکانش باعث افزایش 3 درصدی ولکانش گردید. دلیل این افزایش، اقامت طولانی تر آمیزه در اکسترودر در دور پایین تر پیچ است. شکل‌های (۲ و ۳) تصاویر میکروسکوپ الکترونی پویشی برای دو آمیزه ولکانیکه (۱ و ۲) را نشان می‌دهند که در آن توزیع پرکننده کربن سیاه (دوده) در هر دو نمونه با ابعاد بزرگتر از 100 مایکرومتر و به طور نامنظم وجود دارد. ریخت‌شناختی لاستیک نقش مهمی در خواص مکانیکی لاستیک پخت شده ایفا می‌نماید [۲۴, ۲۵] و توزیع پرکننده در ماتریس لاستیک به افزایش استحکام لاستیک پخت شده کمک مؤثری می‌نماید. این شکل‌ها توزیع نامطلوب پرکننده را نشان می‌دهند. علاوه بر این $15/5\%$ از لاستیک ضایعاتی استفاده شده (جدول ۱) از موادمعدنی و فلزات نسوز تشکیل یافته است که همچون نقاط سفیدرنگ در کنار ذرات پرکننده دیده می‌شوند. پیش‌بینی می‌شود که دو پارامتر مذکور، اثر مخرب روی خواص مکانیکی آمیزه‌ها بگذارند.

ویژگی‌های پخت و خواص مکانیکی آمیزه‌های ولکانش مجدد شده. جدول (۴) یک نمونه از فرمولاسیون پخت آمیزه لاستیکی جهت تولید درزگیر پنجره خودرو که توسط شرکت پارت لاستیک مورد استفاده قرار می‌گیرد ارائه می‌نماید. دو آمیزه ولکانیکه براساس مقادیر لاستیک موجود در هریک از آنها و همچنین درصد ولکانش مربوطه برای ولکانش مجدد آمده شد.

جدول (۵) خواص پخت آمیزه‌های فوق را قبل از ولکانش مجدد نشان می‌دهد که زمان برشتگی آمیزه‌ها

Continuous	پیوسته	در دمای ۲۲۰ درجه سانتیگراد تعیین شد. متغیر بودن ترکیب مواد اولیه، بهدلیل جمع آوری ضایعات از منابع مختلف، از بزرگترین دشواری های واولکانش ضایعات است. این مشکل جنبه عملی و کاربردی این تحقیق را به چالش می کشد.
Network crosslinks	پیوند عرضی شبکه ای	
Chemical crosslinks	پیوند عرضی شیمیایی	
Crosslink density	چگالی اتصالات عرضی	
Virgin	دست نخورده	
Round per minute	دور در دقیقه	
Disulfide oil (DSO)	روغن دی سولفید	
Disc oscillating rheometer	ریومتر نوسانی دیسکی	
Scorch time	زمان آغاز پخت	
Curing time	زمان پخت	
Hardness (Shore A)	سختی	
Polymeric network	شبکه پلیمری	
Design of experiment	طراحی آزمایش	
De-vulcanizing agent	عامل واولکانش	
Elongation at break	کشامد در پارگی	
Swollen	متورم شده	
Mixer	مخلوط کن	
Median	میانه	
Scanning Electron Microscope (SEM)	میکروسکوپ الکترونی پویشی	
Curing rate index	نمایه سرعت پخت	
De-vulcanization	واولکانش	
De-vulcanized	واولکانیده	
Vulcanization	ولکانش	
Vulcanize	ولکانیدن	
Vulcanized	ولکانیده	
Homogeneous	همگن	
قدرتانی		
مؤلفین از خدمات شرکت بسپار سازه توسعه، زیرمجموعه گروه کارخانجات پارت لاستیک برای همکاری صمیمانه در انجام آزمون های مختلف، کمال تشکر را می نمایند.		
واژه نامه		
Delta torque	اختلاف گشتاور	
Aromatic	اروماتیک	
Tensile strength	استحکام کششی	
Twin screw extruder	اکسترودر دو پیچه	
Aliphatic	الیفاتیک	
Oven	اون	
Two roll mill	آسیاب دوغلتکی	
Compounds	آمیزه ها	
efficiency	بازده	
Recycling	بازیافت	
Rubber waste recycling	بازیافت پسماندهای لاستیکی	
EPDM waste rubber powder	پودر لاستیک ضایعاتی اتیلن-پروپیلن- دی ان مونومر	

مراجع

1. Shulman, V.L., “Introduction to Tire Recycling”, European Tire Recycling Association (ETRA) Ed., Paris, France, (2008).

2. Sutanto, P., Laksmana, F.L., Picchioni, F. and Janssen, L.P., "Modeling on the kinetics of an EPDM devulcanization in an internal batch mixer using an amine as the devulcanizing agent", *Chemical Engineering Science*, Vol.61(19),pp. 6442-6453,(2006).
3. Luo, M., Liao, X, Liao, S. and Zhao, Y., "Review on the broken three-dimensional network modification methods of waste rubber powder", *Advanced Mat Res*, Vol. 181, pp.554-556, (2012).
4. De, D. and Singhary, G. M., "Reclaiming of ground rubber tire by a novel reclaiming agent virgin natural rubber/reclaimed GRT vulcanizates", *Polymer Eng. Sci.*, Vol. 47, pp. 1091-1100, (2007).
5. De, D., Das, A., De, D., Dey, B., Debnath, S.C. and Roy, B.C., "Reclaiming of ground rubber tire (GRT) by a novel reclaiming agent", *European Polym. J.*, Vol. 42, pp. 917-927, (2006).
6. De, D., "Processing and material characteristics of a reclaimed ground rubber tire reinforced styrene butadiene rubber", *Materials Sci. Appl.*, Vol. 2, pp.486-496, (2011).
7. Jalilvand, A. R., Ghasemi, I., Karrabi, M. and Azizi, H., "A study of EPDM devulcanization in a co-rotating twin-screw extruder", *Iranian Polym. J.*, Vol. 16, pp. 327-335, (2007).
8. Si, H., Chen, T. and Zhang, Y., "Effects of high shear stress on the devulcanization of ground tire rubber in a twin-screw extruder", *J. Appl. Polym. Sci.*, Vol. 128, pp. 2307-2318., (2013).
9. Yazdani, H., Ghasem,i I., Karrabi, M., Azizi, H.and Bakhshandeh, G.R., "Continuous devulcanization of waste tires by using a Co-rotating twin screw extruder: Effects of screw configuration, temperature profile, and devulcanization agent concentration", *J. Vinyl and Additive Technol.*, Vol. 19, pp. 65-72,(2013).
10. Si, H., Chen, T. and Zhang, Y., "Effects of high shear stress on the devulcanization of ground tire rubber in a twin-screw extruder", *J. Appl. Polym. Sci.*, Vol. 128, pp. 2307-2318., (2013).
11. Sutanto, P., Picchioni, F., Janssen, LPBM, Dijkhuis, KAJ, Dierkes, WK. and Noordermeer, JWM, "EPDM rubber reclaim from devulcanized EPDM", *J. Appl. Poly. Sci.*, Vol. 102, pp. 5948-57.,(2006).
12. Verbruggen, M. A. L., Van der Does, L., Noordermeer, J. W. M., van Duin, M. and Manuel, H. J. , "Mechanisms Involved in the Recycling of NR and EPDM", *Rubber Chem . Technol.*, Vol. 72, pp. 731-740, (1999).
13. Mouri, M., Okamoto, H., Matsushita, M., Honda, H., Nakashima, K.and Takeushi, K., "De-vulcanisation conditions and mechanical properties of re-vulcanised rubber for EPDM Continuous reclamation of rubber by shear flow reaction control", *International Polym. Sci. Technol.*, Vol. 27, pp. 23-28, (2000).
14. Yun, J., Yashin, V.V. and Isayev, A.I., "Ultrasonic devulcanization of carbon black-filled ethylene propylene diene monomer rubber", *J. Appl. Polym. Sci.*, Vol. 91, pp. 1646-1656, (2004).
15. Yun, J. and Isayev, A.I., "Recycling of roofing membrane rubber by ultrasonic devulcanization", *Polymer Eng. Sci.*, Vol. 43, pp.809-821, (2003).
16. Wang, H. and Hubbard, M.J., "Process for devulcanizing rubber." U.S. Patent 9, 556,319, issued January 31, (2017).
17. Asaro, L., Gratton, M., Seghar, S. and Ait Hocine, N., "Devulcanization of Waste Rubber Using Thermomechanical Method Combined with Supercritical CO₂", World Academy of Science, Engineering and Technology, *International Journal of Environmental and Ecological Engineering*, Vol. 5 (3), pp. 148, (2018).
18. Sabzekar, M., Pourafshari Chenar, M., Zohuri, G.H. and Mortazavi, S.M.M, "INVESTIGATION OF MECHANICAL, THERMAL, AND MORPHOLOGICAL PROPERTIES OF EPDM COMPOUNDS CONTAINING RECLAIMED RUBBER", *Rubber Chem. Technol.*, Vol. 90 (4), pp. 765-776, (2017).
19. Ostad-Movahed, S., Ansar Yasin, K., Ansarifar, A., Song, M. and Hameed, S., " Comparing Effects of Silanized Silica Nanofiller on the Crosslinking and Mechanical Properties of Natural Rubber and

- Synthetic Polyisoprene”, *J. Appl. Polym. Sci.*, Vol. 109, pp.869–881, (2008).
20. Wolff, S., Wang, M.J. and Tan, E.H.,”Filler-Elastomer Interactions. Part VII. Study on Bound Rubber”, *Rubber Chem. Technol.*, Vol. 66, pp. 163-177, (1993).
21. Baldwin, F. P. and Strate, G. V., “Polyolefin Elastomers Based on Ethylene and Propylene”, *Rubber Chem. Technol.*, Vol. 45, pp. 709-781, (1972).
22. British standards institution, “Method for determination of tensile stress strain properties”, BS 903, A2, UK, (1995).
23. British standards institution, “Physical testing of rubber: Method for determination of hardness”, BS 903, A26, London, UK, (1995).
24. Kader, M. A., Bhowmick, A. K., Inoue, T. and Chiba, T., “Morphology, mechanical and thermal behavior of acrylate rubber/fluorocarbon elastomer/polyacrylate blends”, *J. Mater. Sci.*, Vol. 37, pp. 1503-1513, (2002).
25. Lee, J. K. and Han, C.D., “Evolution of polymer blend morphology during compounding in a twin-screw extruder”, *Polymer*, Vol. 41, pp. 1799-1815,(2000).